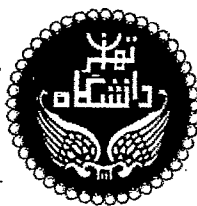


الله الرحمن الرحيم



دانشکده عمران - پردیس دانشکده های فنی

بررسی آزمایشگاهی رفتار غیرخطی سکوهای دریایی

نگارش:

محمد رضا هنرورد

استاد راهنمای: دکتر محمد رضا بهاری

استاد مشاور: دکتر بهروز عسگریان

رساله برای دریافت درجه دکتری

دورشته مهندسی عمران - سازه های دریایی

فروردين ۱۳۸۷

۶۲۷۸۷



دانشگاه تهران

دانشکده عمران - پردیس دانشکده های فنی

بررسی آزمایشگاهی رفتار غیرخطی

سکوهای دریایی

نگارش: محمدرضا هنرور

استاد راهنمای: دکتر محمدرضا بهاری

استاد مشاور: دکتر بهروز عسگریان

رساله برای دریافت درجه دکтри

د

رشته مهندسی عمران - سازه های دریایی

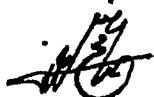
فروردين ۱۳۸۷

تعهدنامه اصالت اثر

اینجانب محمد رضا هنرور تائید می کند که مطالب مندرج در این پایان نامه حاصل کار پژوهشی اینجانب است و به دستاوردهای پژوهشی دیگران که در این نوشته از آنها استفاده شده است، مطابق مقررات ارجاع گردیده است. این پایان نامه قبل از احراز هیچ مدرک علمی هم سطح یا بالاتر ارائه نشده است.

کلیه حقوق مادی و معنوی این اثر متعلق به دانشگاه فنی تهران می باشد.

نام و نام خانوادگی دانشجو: محمد رضا هنرور

امضا: 
۸۷/۱/۲۹

چکیده

امروزه توسعه روزافزون مصرف انرژی، نه تنها بهره برداری از حوزه های نفت و گاز موجود در مناطق خشکی، بلکه لزوم استفاده از منابع انرژی موجود در حوزه های فراساحل را نیز ایجاب می نماید. در همین راستا، دسترسی به راهکارهای واقع گرایانه برای تحلیل و طراحی سکوهای دریائی به عنوان عوامل اصلی در بهره برداری از منابع نفت و گاز حوزه های فراساحل از تحسین اولویت ها خواهد بود. بررسی رفتار لرزه ای سکوهای دریائی در مقابل زلزله ازارکان اصلی در تحلیل و طرح سکوهای دریائی در مناطق لرزه خیز می باشد. در زلزله های نادر و شدید سطح شکل پذیری که هدف اصلی عبارت از حفظ انسجام و پایداری کلی سکو خواهد بود و بروز رفتارهای غیرخطی اعضا و اتصالات سازه ای، مجاز شمرده می شود، رفتار غیرخطی سکو، قسم ناشی از رفتار غیرخطی خاک و شمع و هم ناشی از رفتار خودجکت می باشد. در این رساله، بطور خاص، مدل رفتار غیرخطی قاب فلزی جکت و آن قسمت از شمع که بالای گف دریا می باشد و نیز اندرکنش واقعی آنها در آزمایشگاه، تحت رفت ویرگشتهای فرایند تراز عرش، بررسی گردیده است. در سالیان گذشته اقداماتی در این زمینه صورت گرفته بود ولی هیچکدام از این کارها، با اصول سازه های دریایی بخصوص فراساحل تطبیق کامل نداشته اند و اثر شمع بالای خاک و اندرکنش آن پایه را نادیده انگاشتند، اثر Grouting بررسی نشده و در اثر ساده سازیها، بدون درنظر گرفتن شمع، پایه خود جکت را مستقیماً به زمین مفصل نموده اند. طبیعی است که نتایج آزمایشات این طرح، با ایجاد تصحیح در کارهای گذشته و انطباق بیشتر آنها با شرایط خاص سازه های دریایی بویژه جکتها، از اعتبار بیشتری برخوردار خواهند بود.

در فاز اول این رساله با استفاده از المان پس کمانشی الیافی در نرم افزار DRAIN (عسگریان-۱۳۸۲)، رفتار هیستریک غیرخطی جانبی و نحوه مدلسازی المان پرتال در دو حالت گروت شده و گروت نشده،

مورد بررسی و مقایسه قرار گرفت. در سطوح پایین بارگذاری محوری، منحنی های هیسترتیک در دو حالت تطبیق کامل دارند ولیکن هرمیزان که بارگذاری محوری افزایش یابد، حالت گروت نشده در مقایسه با گروت شده، بتدریج رفتار بدتری را شان میدهد.

در فاز دوم، مدل فیزیکی ساده سازی شده از سکوهای دریایی در دو حالت گروت شده و گروت نشده، تحت بارگذاری جانبی از نوع جابجایی شبه استاتیکی عرش، آزمایش گردیدند و علاوه بر تولید اطلاعات آزمایشگاهی، تأثیر گروت نیز در رفتار سازه بررسی گردید. در حالت گروت شده، سختی جانبی المانهای پر تال (فقط هنگامیکه در ترکیب با مهاربندی ها بصورت یک سیستم عمل میکنند)، و در نتیجه سختی جانبی کل قاب و نیروی اعمال شونده به سازه تحت جابجایی یکسان کل سیستم، بیشتر از حالت گروت نشده بود و مهاربندها در سیکلهای زودتر دچار پارگی و شکست شدند. در این آزمایشات، به منظور اینکه اعضای مهاربندی براساس امکانات آزمایشگاه، کنترل کننده طرح نباشد، مشاهده رفتار پر تال خالص و عمر کمتر آنها و یا توجه به محدودیتهای ساخت، Joint-Can ها ساخته نشده و امکان کمابیش مهاربندها وجود نداشت.

در فاز سوم، نتایج آزمایشگاهی با نتایج تحلیلهای عددی در OPENSEES مقایسه گردید و مدل عددی مورد استفاده برای شیوه سازی رفتار کلی و پاسخهای هر دو قاب، از دیدگاه ماکروسکوپی بخوبی اثبات و تأیید گردید. در فاز نهایی، با کمک اصول مدلسازی عددی تایید شده در فاز قبل، قابهای مورد آزمایش، با شرایط نزدیک تر به شرایط واقعی و با فرض وجود Joint-Can ها، مدل شده و نتایج مهمی حاصل گردید. چنانچه سازه به نحوی ساخته شود که جزئیات اتصال مهاربندی ها رعایت شود و رفتار پس کمانشی آنها محقق گردد، گروت میتواند نقش مثبت اندک خود در افزایش جذب انرژی توسط سازه را ایفا نماید.

تقدیر

در اینجا لازم میداند کمال تشکر را نسبت به خانواده محترم خود، بابت همکاری ارزشمند ایشان ابراز دارد.

از حمایتها و زحمات بی دریغ استاد راهنمای طرح، جناب آقای دکتر بهاری و استاد مشاور طرح، جناب

آقای دکتر عسگریان، تقدیر می گردد. همچنین راهنمایی های ارزشمند جناب آقای دکتر کیمیابی و

پروفسور S.A.Mahin (استاد دانشگاه برکلی)، شایان تقدیر می باشد.

لازم میداند از شرکت نفت و گاز پارس (POGC) درخصوص تامین مالی لازم برای پیشبرد این طرح

تقدیر نماید. از پشتیبانی همه جانب و کلان نگر جناب آقای مهندس ترکان، مدیریت عامل وقت، و از

زحمات و توجهات ویژه سرکار خاتم مهندس خرم، مدیریت محترم واحد پژوهش و توسعه آن شرکت،

جناب آقای مهندس پرتقالی و جناب آقای دکتر دقیق، کارشناسان مسئول این طرح پژوهشی نیز کمال

تشکر را دارد.

فاز اصلی انجام آزمایشات در آزمایشگاه سازه مرکز تحقیقات ساختمان و مسکن وزارت مسکن انجام

پذیرفت که بدینوسیله از آن مرکز محترم تقدیر می نماید. بخصوص نگرش متعددانه سرکار خاتم دکتر

پرهیزگار، معاونت محترم تحقیقات آن مرکز و حمایت فنی و اجرایی جناب آقای دکتر مزروعی

سرپرست محترم آزمایشگاه سازه آن مرکز سپاسگزاری میگردد.

در تحلیلهای عددی انجام شده در نرم افزار DRAIN از کمک جناب آقای مهندس لسانی و

در تحلیلهای عددی نرم افزار OPENSEES، از کمک جناب آقای مهندس النجیری بهره مند گردیده ام

که بدینوسیله از علاقه ویژل توجه این دو بزرگوار نیز تقدیر میگردد.

فهرست مনدرجات

چکیده

تقدیر

فصل اول: آشنایی با سکوهای دریائی و تحلیلهای لزه‌ای سکوها

۱	-۱-۱- مقدمه
۲	-۱-۲- راهکارهای موجود در تحلیل و طرح لزه‌ای سکوهای دریائی
۳	-۱-۳- ملاحظات آئین نامه‌ای برای تحلیل و طرح سکوهای دریائی
۵	-۱-۴- بررسی رفتار دینامیکی غیرخطی سکوهای دریائی در مقابل زلزله
۹	-۱-۵- تاریخچه بررسی رفتار غیرخطی پایه سکوهای دریائی در مقابل زلزله
۹	-۱-۵-۱- رفتار اعضاء جاکت تحت اثر بارهای سطح غیرخطی
۱۱	-۱-۵-۲- رفتار اعضاء قاب و مطالعات تجربی
۱۳	-۱-۵-۳- رفتار اعضاء مهاربندی و مطالعات تجربی
۱۵	-۱-۵-۴- رفتار پایه های سکوهای ثابت فلزی دریائی و مروری بر مطالعات آزمایشگاهی
۱۸	-۱-۵-۵- بررسی رفتار پایه های سکو تحت اثر بارهای دینامیکی به صورت آزمایشگاهی
۲۰	-۱-۶- رفتار سکوهای دریائی حین عملیات نصب
۲۱	-۱-۷- ضرورت و روش اجرایی طرح

فصل دوم: مطالعه رفتار دینامیکی غیرخطی اجزای سکوها

۲۲	-۲-۱- مقدمه
۲۲	-۲-۲- انواع رفتار غیرخطی در سازه
۲۳	-۲-۳- رفتار غیرخطی مصالح
۲۳	-۲-۴- رفتار غیرخطی هندسی
۲۴	-۲-۵- مروری بر رفتار غیرخطی مصالح اعضای سازه ای سکوها

۲۶	۱-۵-۲- مروی بر رفتار غیرخطی المان های قاب
۲۷	۲-۵-۲- مروی بر رفتار غیرخطی المان های مهاریندی
۲۹	۳-۵-۲- مقایسه رفتار غیرخطی المان های قاب و مهاریندی
۳۰	۴-۶-۲- ارائه یک مدل کاربردی اجزای محدود (ANSYS) و مقایسه آن با نتایج تجربی
۳۱	۵-۶-۲- مدل رفتار المان و مدل رفتار مصالح
۳۸	۶-۲- مدل اجزای محدود برای تحلیل غیرخطی روسازه یک سکوی ثابت فلزی و مقایسه نتایج با مدل آزمایشگاهی
۴۵	۷-۲- ارائه یک مدل کاربردی اجزای محدود (DRAIN) و مقایسه آن با نتایج تجربی
۴۵	۸-۱-۷-۲- معرفی المان تیرستون پس کمانشی الافی
۴۷	۹-۲-۷-۲- تحلیل اعضاء منفرد با استفاده از المان تیرستون پس کمانشی الافی
۵۲	۱۰-۳-۷-۲- تحلیل غیرخطی سکوهای ثابت فلزی دریائی تحت اثر بارهای استاتیکی
۵۵	۱۱-۴-۷-۲- تحلیل دینامیکی سکوهای ثابت فلزی دریائی نمونه با استفاده از المان تیرستون پس کمانشی الافی
۶۰	۱۲-۸-۲- ارائه یک مدل کاربردی اجزای محدود (OPENSEES)
۶۱	۱۳-۱-۸-۲- اعضای مهاریندی
۶۳	۱۴-۲-۸-۲- اعضای قاب
۶۳	۱۵-۳-۸-۲- اتصالات
۶۴	۱۶-۴-۲- مروی بر مدلهای رفتار غیرخطی شمعها در مقابل زلزله
۶۴	۱۷-۱-۹-۲- مقدمه
۶۴	۱۸-۲-۹-۲- مبانی و اصول اندرکنش لرزه ای خاک- شمع- سازه
۶۵	۱۹-۳-۹-۲- مروی بر روش های مورد استفاده در تحلیل اندرکنش های لرزه ای
۶۶	۲۰-۴-۹-۲- مروی بر مطالعات آزمایشگاهی رفتار غیرخطی شمع ها در مقابل زلزله
۶۸	۲۱-۱۰-۲- جمع بندی

فصل سوم: تعریف طرح با لحاظ اندرکنش شمع و پایه جکت

۶۹	۱-۳- سیستم سازه ای سکوهای شابلونی
۷۴	۲-۳- اهداف و ضرورتها
۷۶	۳-۳- دستاوردها
۷۷	۴-۳- روش اجرای طرح

فصل چهارم: بررسی المان منفرد پر قال (فاز اول آزمایشات)

۷۹	۱-۴- چکیده
۷۹	۲-۴- کلیات تحلیل
۸۱	۳-۴- بررسی آزمایشگاهی رفتارگروت
۸۴	۴-۴- مدلسازی عددی
۹۲	۵-۴- جمع بندی

فصل پنجم: بررسی آزمایشگاهی قاب سکوها (فاز دوم آزمایشات)

۹۳	۱-۵- مقدمه
۹۴	۲-۵- انجام آزمایشات
۹۴	۱-۲-۵- طراحی قابها
۱۰۲	۲-۲-۵- مشخصات مصالح
۱۰۳	۱-۲-۲-۵- رفتار مکانیکی فولاد مصرفی در نوله ها
۱۰۳	۲-۲-۲-۵- رفتار مکانیکی فولاد در محل اتصال مهاریندیها
۱۰۳	۳-۲-۲-۵- رفتار مکانیکی گروت
۱۰۶	۳-۲-۵- ساخت
۱۰۷	۴-۲-۵- آماده سازی برای آزمایش
۱۱۸	۳-۵- رفتار کلی قابها

۱۳۲	۴-۵- رفتار اعضای
۱۳۵	۵- جمع بندی آزمایش
۱۳۶	۵- تحلیل عددی
۱۳۶	۵- خلاصه ۱-۶-۵
۱۳۶	۵- قابهای نمونه ۲-۶-۵
۱۳۶	۵- مدلسازی عددی ۳-۶-۵
۱۴۱	۵- رفتار سیکلی ۴-۶-۵
۱۴۱	۵- شرح اتفاقات ۱-۴-۶-۵
۱۴۳	۵- رفتار هیستوگرام کلی ۲-۴-۶-۵
۱۴۷	۵- سیکلهای سطح Working Load ۳-۴-۶-۵
۱۴۹	۵- نیروی محوری اعضا مهار بندی ۴-۴-۶-۵
۱۵۱	۵- انرژی ۵-۴-۶-۵
۱۵۳	۵- بررسی تأثیر Joint ها (به کمک تحلیل عددی)
۱۹۰	۵- جمع بندی ۸-۵

فصل ششم: جمع بندی رساله و ارائه پیشنهادات

منابع

۱۷۴	پیوستها
۱۷۵	پیوست یک: نمونه نتایج تست کششی لوله ها
۱۷۶	پیوست دو: مراحل ساخت
۱۷۷	پیوست سه: نمونه گزارش تست غیرمخرب جوشها

خلاصه به زبان انگلیسی

فهرست جداولها

فصل اول

فصل دوم

جدول ۱-۲ ویژگی های رفتار غیرخطی اعضای قاب و اعضای مهاربندی

جدول ۲-۲ تأثیر اندازه المانها در میزان استهلاک آرژی در اولین چرخه بارگذاری - بارگذاری یک عضوقاب

جدول ۳-۲ مشخصات مقاطع مدل جاکت FRAME-II (Zayas et al-1980b)

جدول ۴-۲ مقایسه مقادیر فرکانس بر حسب هرتز

جدول ۵-۲ ضرایب تبدیل کمیت های مدل به کمیت های واقعی در آزمایشات سانتریفورز CSP-4/SPI

فصل سوم

جدول ۱-۳ مقاومت متداول مطلوب برای Grout

فصل چهارم

فصل پنجم

جدول ۱-۵ فهرست خرید مصالح

جدول ۲-۵ مشخصات منحنی تنش - کرنش لوله های استفاده شده، تست کشش نمونه های مختلف

جدول ۳-۵ جابجایی های هدف برای اعمال به عرشه در هردو قاب

فهرست شکلها

فصل اول

شکل ۱-۱ انواع بارگذاری بر روی سکوهای ثابت فلزی دریابی [کیمیابی - ۱۳۸۳]

شکل ۲-۱ مدل کلی یک سکوی ثابت فلزی دریابی جهت انجام تحلیل غیر خطی [Marshal - 1980]

شکل ۳-۱ منحنی آزمایشگاهی رفتاری یک عضو مهاریندی [Sherman - 1981]

شکل ۴-۱ منحنی آزمایشگاهی رفتاری یک عضو قاب [Sherman - 1981]

شکل ۵-۱ منحنی رفتاری یک سری اعضاء قاب [Sherman - 1979]

شکل ۶-۱ منحنی های هیسترزیس آزمایشگاهی برای اعضاء قاب [Sherman - 1976]

شکل ۷-۱ منحنی آزمایشگاهی رفتاری یک عضو مهاریندی دو سرگیردار [Sherman - 1979]

شکل ۸-۱ منحنی آزمایشگاهی رفتاری یک عضو مهاریندی دو سر مفصل [Zayas - 1980]

شکل ۹-۱ منحنی آزمایشگاهی رفتاری یک عضو دو سر گیردار [Zayas - 1980]

شکل ۱۰-۱ مشخصات قابهای تست شده توسط Zayas

شکل ۱۱-۱ رفتار هیسترزیس قابهای I و II تست شده توسط Zayas

شکل ۱۲-۱ رفتار آزمایشگاهی قابهای با مهاریندی Chevron با لاغری متوسط

شکل ۱۳-۱ رفتار آزمایشگاهی قابهای با مهاریندی Chevron با لاغری کم

شکل ۱۴-۱ فرم کلی سکوی تست شده

شکل ۱۵-۱ تاریخچه زمانی تغییر مکان عرشه در آزمایش میز لرزان

فصل دوم

شکل ۱-۲ اعضای قاب و اعضای مهاریندی در سکوهای دریابی [Sherman - 1981]

شکل ۲-۲ نحوه عملکرد عمومی المان قاب

شکل ۳-۲ منحنی هیستریک نیروی جانبی - تغییر مکان جانبی المان قاب

شکل ۴-۲ نحوه عملکرد عمومی یک المان مهاریندی.

شکل ۵-۲ منحنی هیسترتیک نیروی محوری- تغییر مکان محوری المان مهاریندی.

شکل ۶-۲ مدل دو خطی سخت شوندگی سینماتیک

شکل ۷-۲ نحوه مدل سازی مهاریندها

شکل ۸-۲ نتایج مشاهدات آزمایشگاهی برای Brace-II [Zayas et al. 1980 a]

شکل ۹-۲ نتایج محاسباتی مدل اجزای محدود برای Bruce-II [Kayvani-1993]

شکل ۱۰-۲ میزان انرژی مستهلك شده در چرخه های بارگذاری-باربرداری [Kayvani-1993]

شکل ۱۱-۲ رفتار سیکلی غیرخطی عضو پرتال

شکل ۱۲-۲ مشخصات هندسی مدل II-Frame [Zayas et al. 1980b]

شکل ۱۳-۲ نحوه مدلسازی و المان بندی Frame-II [Keyvani-1993]

شکل ۱۴-۲ بارگذاری اعمالی بصورت نمودار تغییر مکان- زمان بر روی عرشه

شکل ۱۵-۲ حلقه های هیسترتیک ثبت شده Frame-II (چرخه اول تا پنجم)

[Zayas et al. 1980b]

شکل ۱۶-۲ حلقه های هیسترتیک محاسبه شده Frame-II (چرخه اول تا پنجم)

[Keyvani 1993]

شکل ۱۷-۲ حلقه های هیسترتیک ثبت شده Frame-II (چرخه ششم تا دهم)

[Zayas et al.]

شکل ۱۸-۲ حلقه های هیسترتیک محاسبه شده Frame-II (چرخه ششم تا دهم)

[Keyvani 1993]

شکل ۱۹-۲ مقایسه انرژی مستهلك شده محاسباتی و تجربی در Frame-II در چرخه های

بارگذاری-باربرداری

شکل ۲۰-۲ مقایسه حداکثر نیروی فشاری وارد شده محاسباتی و تجربی در Frame-II در هر چرخه

بارگذاری-باربرداری

شکل ۲۱-۲ مقایسه حداکثر نیروی کششی وارد شده محاسباتی و تجربی در Frame-II در هر چرخه

بارگذاری-باربرداری

شکل ۲۲-۲ منحنی تنش - کرنش تارهای بتی در المان تیپ E15

شکل ۲۳-۲ منحنی تنش - کرنش تارهای فولادی در المان تیپ ۱۵

شکل ۲۴-۲ مشخصات المان تیرستون پس کمانشی الیافی

شکل ۲۵-۲ مشخصات المان پس کمانشی تیرستون الیافی

شکل ۲۶-۲ رفتار عضو قاب برای نیروهای محوری مختلف

شکل ۲۷-۲ منحنی تجربی و تئوریک (قطعات محدود) برای عضو قاب با نیروهای محوری مختلف

شکل ۲۸-۲ مقایسه منحنی رفتار عضو قاب تحت اثر نیروی جانبی رفت و برگشتی $P=0.16Py$

شکل ۲۹-۲ مقایسه منحنی رفتار عضو قاب تحت اثر نیروی جانبی رفت و برگشتی $P=0.48Py$

شکل ۳۰-۲ رفتار پس کمانشی یک عضو دو سر گیردار

شکل ۳۱-۲ مشخصات هندسی قابهای تست شده

شکل ۳۲-۲ منحنی نیرو تغییر مکان تجربی نمونه

شکل ۳۳-۲ نتایج تحلیل با استفاده از المان الیافی

شکل ۳۴-۲ منحنی نیرو تغییر مکان تجربی نمونه

شکل ۳۵-۲ نتایج تحلیل با استفاده از المان الیافی

شکل ۳۶-۲ مشخصات سکو

شکل ۳۷-۲ تاریخچه اندازه گیری شده تغییر مکان عرشه در زلزله سطح مقاومت

شکل ۳۸-۲ تاریخچه تحلیلی تغییر مکان عرشه در زلزله سطح مقاومت

شکل ۳۹-۲ تاریخچه اندازه گیری شده تغییر مکان عرشه در زلزله سطح شکل پذیری

شکل ۴۰-۲ تاریخچه تحلیلی تغییر مکان عرشه در زلزله سطح شکل پذیری

شکل ۴۱-۲ تاریخچه اندازه گیری شده تغییر مکان عرشه در زلزله M.C.E.

شکل ۴۲-۲ تاریخچه تحلیلی تغییر مکان عرشه در زلزله M.C.E.

شکل ۴۳-۲ المان تیرستون غیرخطی دو بعدی: سیستم مشخصات محلی و گلوبال

شکل ۴۴-۲ مدل گره بندی ها و تقسیم بندی مقطع عرضی

فصل سوم

شکل ۱-۳ شمای کلی یک نمونه سکوی چهارپایه و یک سکوی هشت پایه

شکل ۲-۳ شمای کلی قرارگیری یک نمونه جکت چهارپایه بر روی بستر دریا

شکل ۳-۳ شمای کلی جکتهای از نوع دارای Skirt Sleeves

شکل ۴-۳ شمای کلی نصب شمعهای سکوهای شابلونی از نوع Pile Through Leg

شکل ۵-۳ شمای کلی اتصال شمع به Leg در تراز Connection Joint و اتصال

به شمع Transition Piece

شکل ۶-۳ شمای کلی اتصال شمع به Leg در تراز Connection Joint با کمک Crown Pieces

شکل ۷-۳ شمای کلی Shim Plate های مستقر در جدار داخل پایه جکت در تراز اعضای افقی جکت

فصل چهارم

شکل ۱-۴ میکسر استفاده شده در آزمایشگاه ساخت نمونه ها

شکل ۲-۴ نمونه های ساخته شده

شکل ۳-۴ باز شدن سه نمونه جهت عمل آوری در شرایط عادی

شکل ۴-۴ نمونه های عمل آوری شده تحت شرایط محبوس

شکل ۵-۴ منحنی رفتاری تیپ گروت در DRAIN

شکل ۶-۴ منحنی رفتاری تیپ فولاد در DRAIN

شکل ۷-۴ منحنی نمونه اول عمل آمده تحت شرایط محبوس

شکل ۸-۴ منحنی نمونه دوم عمل آمده تحت شرایط محبوس

شکل ۹-۴ منحنی نمونه اول عمل آمده تحت شرایط عادی

شکل ۱۰-۴ منحنی نمونه دوم عمل آمده تحت شرایط عادی

شکل ۱۱-۴ میانگین بگیری از نتایج چهار نمونه

شکل ۱۲-۴ برآش منحنی حاصله با منحنی استاندارد DRAIN و بدست آوردن پارامترهای مورد نیاز آن

شكل ۱۳-۴ منحنی رفتاری مفروض برای فولاد مصرفی در لوله های شمع و پایه

شكل ۱۴-۴ منحنی هیسترتیک المان پرتاب در حالت گروت نشده به ازای بارهای محوری مختلف

شكل ۱۵-۴ منحنی هیسترتیک المان پرتاب در حالت گروت شده (۱)، به ازای بارهای محوری مختلف

شكل ۱۶-۴ مقایسه منحنی هیسترتیک المان پرتاب حالت‌های گروت شده (۱) و گروت نشده

(حالت بدون بارمحوری)

شكل ۱۷-۴ مقایسه منحنی هیسترتیک المان پرتاب حالت‌های گروت شده (۱) و گروت نشده

(حالت بارمحوری ۱۰٪ حدجاری شدن)

شكل ۱۸-۴ مقایسه منحنی هیسترتیک المان پرتاب حالت‌های گروت شده (۱) و گروت نشده

(حالت بارمحوری ۳۰٪ حدجاری شدن)

شكل ۱۹-۴ مقایسه منحنی هیسترتیک المان پرتاب حالت‌های گروت شده (۱) و گروت نشده

(حالت بارمحوری ۵۰٪ حدجاری شدن)

شكل ۲۰-۴ مقایسه منحنی هیسترتیک المان پرتاب حالت‌های گروت شده (۱) و گروت نشده

(حالت بارمحوری ۸۰٪ حدجاری شدن)

شكل ۲۱-۴ منحنی هیسترتیک المان پرتاب در حالت گروت شده (۲)، به ازای بارهای محوری مختلف

شكل ۲۲-۴ مقایسه منحنی هیسترتیک المان پرتاب حالت‌های گروت شده (۲) و گروت نشده

(حالت بدون بارمحوری)

شكل ۲۳-۴ مقایسه منحنی هیسترتیک المان پرتاب حالت‌های گروت شده (۲) و گروت نشده

(حالت بارمحوری ۱۰٪ حدجاری شدن)

شكل ۲۴-۴ مقایسه منحنی هیسترتیک المان پرتاب حالت‌های گروت شده (۲) و گروت نشده

(حالت بارمحوری ۳۰٪ حدجاری شدن)

شكل ۲۵-۴ مقایسه منحنی هیسترتیک المان پرتاب حالت‌های گروت شده (۲) و گروت نشده

(حالت بارمحوری ۵۰٪ حدجاری شدن)

شكل ۲۶-۴ مقایسه منحنی هیسترتیک المان پرتاب حالت‌های گروت شده (۲) و گروت نشده

(حالت بارمحوری ۸۰٪ حدجاری شدن)

شکل ۲۷-۴ منحنی اندرکنش نیروی محوری - جداکثر نیروی جانبی محاسبه شده

فصل پنجم

شکل ۱-۵ مکانیزم انتخابی برای شکست قاب طی مراحل مختلف

شکل ۲-۵ سیستم مخصوصات و شماره گذاری گره ها، قاب گروت شده

شکل ۳-۵ سیستم مخصوصات و شماره گذاری گره ها، قاب گروت نشده

شکل ۴-۵ شرایط تکیه گاهی نقاط مختلف قابها حین انجام آزمایش

شکل ۵-۵ تخمین مقدماتی از تغییرات جداکثر نیروی جانبی درازای جابجایی های مختلف عرضه

نتایج بدست آمده در SACS Static Collapse، پوش رفتار قابهای گروت شده و گروت نشده

شکل ۶-۵ نقشه ساخت جکت

شکل ۷-۵ نقشه ساخت شمعها، Shim Plate ها، Base Plate و عرضه

شکل ۸-۵ نقشه ساخت سکو، نحوه سوارشدن قطعات مختلف بر روی یکدیگر

شکل ۹-۵ منحنی تنش-کرنش لوله های استفاده شده براساس نتایج تست کشش

شکل ۱۰-۵ منحنی تنش-کرنش گروت استفاده شده براساس نتایج تست فشاری

شکل ۱۱-۵ آرایش و شماره گذاری Load Cell ها و LVDT ها

شکل ۱۲-۵ آرایش و شماره گذاری کرنش سنج ها

شکل ۱۳-۵ جابجایی های هدف برای اعمال به عرضه در هردو قاب

شکل ۱۴-۵ جزئیات مهار های جانبی (خارج از صفحه) پایه های جکت در تراز مهاریند های افقی

شکل ۱۵-۵ تعیین سوراخهای لازم بر روی ورق کف جهت پیچ شدن به تکیه گاه مصلی

شکل ۱۶-۵ نصب اولیه قاب بر روی تکیه گاهها، کنترل ابعاد مختلف و نهایی نمودن محل خرپاها

شکل ۱۷-۵ نصب کرنش سنجها در محل های مشخص و با شماره های تعیین شده (۷۰ عدد برای هر قاب)

شکل ۱۸-۵ قرار گیری نهایی قابها، نصب خرپاها در محل مشخص

شکل ۱۹-۵ پوشش قابها با آب آهک، نصب مهار های جانبی و نصب تکیه گاه جک و جک

شکل ۲۰-۵ پیچ شدن ورق کف به تکیه گاه مفصلی، نمای کنار از جابجایی سنجهای شماره ۱۰ و ۱۲

شکل ۲۱-۵ نمای کلی از Setup آزمایش، جکهای هیدرولیک و مهارهای جانبی

شکل ۲۲-۵ نمای نزدیک از جابجایی سنج های ۱۷ تا ۱۹ و کرنش سنجهای ۵۹ تا ۶۸ و ۷۱

شکل ۲۳-۵ نمای کلی از Setup آزمایش، دید از رو برو

شکل ۲۴-۵ نمای نزدیک از جابجایی سنج شماره ۸

شکل ۲۵-۵ نمای نزدیک از جابجایی سنج های شماره ۱۱ و ۱۳

شکل ۲۶-۵ نمای نزدیک از جک مربوط به اعمال بار منفی، نیروستج ۱ و جابجایی سنج ۳

شکل ۲۷-۵ نمای نزدیک از یک کرنش سنج و کابل آن

شکل ۲۸-۵ نحوه قرارگیری جک اعمال بار منفی، جابجایی سنجهای ۳۰ و ۷، نیروستج ۱

شکل ۲۹-۵ میز کترل، پردازنده اطلاعات، ترمینال کابلهای کرنش سنجها، LVTID'S و نیروستجها

شکل ۳۰-۵ گزارش مرحله به مرحله آزمایشات هردو قاب، درسیکلهای مختلف و برای المانهای مختلف

شکل ۳۱-۵ شروع پاره شدن اتصال مهاربندی های پایینی، (سیکل ۱۳ ادقاب گروت نشده و ۱۱ در گروت شده)

شکل ۳۲-۵ توسعه بریدگی اتصال مهاربندی های پایینی درسیکلهای بعدی

شکل ۳۳-۵ توسعه بریدگی اتصال مهاربندی های پایینی درسیکلهای بعدی

شکل ۳۴-۵ بریدگی کامل اتصال مهاربندی های پایینی (سیکل ۱۷ ادقاب گروت نشده و ۱۳ در گروت شده)

شکل ۳۵-۵ شروع پاره شدن اتصال مهاربندی های بالایی، (سیکل ۲۲ ادقاب گروت نشده و ۲۰ در گروت شده)

شکل ۳۶-۵ توسعه بریدگی اتصال مهاربندی های بالایی درسیکلهای بعدی

شکل ۳۷-۵ توسعه بریدگی اتصال مهاربندی های بالایی درسیکلهای بعدی

شکل ۳۸-۵ بریدگی کامل اتصال مهاربندی های بالایی (سیکل ۲۵ ادقاب گروت نشده و ۲۴ در گروت شده)

نمای عمومی تغییر شکل قاب درسیکلهای پرتال (سیکلهای انتهایی) پس از قطع مهاربندها

(Cy. 30, $\Delta = -20\text{Cm}$)

شکل ۳۹-۵ تغییر زاویه مفصل در آخرین سیکل (Cy. 30, $\Delta = -20\text{Cm}$)

شکل ۴۰-۵ منحنی هیستریک تغییرات نیروی جانبی دربرابر جابجایی عرشه (سیکلهای ۱ تا ۳۰)

شکل ۴۱-۵ منحنی هیستریک تغییرات نیروی جانبی دربرابر جابجایی عرشه (سیکلهای ۱ تا ۱۰)

شکل ۴۲-۵ منحنی هیستریک تغییرات نیروی جانبی دربرابر جابجایی عرشه (سیکلهای ۱۱ تا ۲۰)

شکل ۴۳-۵ منحنی هیسترتیک تغیرات نیروی جانبی دربرابر جابجایی عرشه (سیکلهای ۲۱ تا ۳۰)

شکل ۴۴-۵ مدل ساده سازی شده پیشنهادی برای رفتار جانبی قابها

شکل ۴۵-۵ تغیرات حداکثر نیروی جانبی، در جهات (+) و (-)، در سیکلهای مختلف جابجایی

شکل ۴۶-۵ تغیرات حداکثر نیروی جانبی میانگین، در سیکلهای مختلف جابجایی

شکل ۴۷-۵ پوش تغیرات هیسترتیک نیروی جانبی دربرابر جابجایی عرشه

شکل ۴۸-۵ تغیرات انرژی مستهلك شده توسط قابها در سیکلهای مختلف

شکل ۴۹-۵ تغیرات انرژی تجمعی مستهلك شده توسط قابها

شکل ۵۰-۵ تغیرات سختی قابها طی سیکلهای تعمدی سطح Working Load، در قاب گروت نشده

شکل ۵۱-۵ تغیرات سختی قابها طی سیکلهای تعمدی سطح Working Load، در قاب گروت شده

شکل ۵۲-۵ تغیرات تنش محوری متوسط مهاربندی ۲۰۲-۱۰۱، (حداکثر درسیکل)، (کرنش سنجهای ۹۳۳۴۸)

شکل ۵۳-۵ تغیرات تنش محوری متوسط مهاربندی ۲۰۱-۱۰۲، (حداکثر درسیکل)، (کرنش سنجهای ۶۴-۷۳)

شکل ۵۴-۵ تغیرات تنش محوری متوسط مهاربندی ۳۰۲-۲۰۱، (حداکثر درسیکل)، (کرنش سنجهای ۸۱۷۸)

شکل ۵۵-۵ تغیرات تنش محوری متوسط مهاربندی ۳۰۱-۲۰۲، (حداکثر درسیکل)، (کرنش سنجهای ۸۷۸۲)

شکل ۵۶-۵ آرایش کلی مدل عددی در دو حالت گروت شده و گروت نشده

شکل ۵۷-۵ خلاصه اتفاقات در حین اعمال بارگذاری در دو حالت مدلسازی عددی و فیزیکی

شکل ۵۸-۵ منحنی تغیرات بار اعمالی در مقابل جابجایی عرشه (نتایج آزمایشگاهی)

شکل ۵۹-۵ منحنی تغیرات بار اعمالی در مقابل جابجایی عرشه (نتایج مدلسازی عددی)

شکل ۶۰-۵ منحنی تغیرات بار اعمالی در مقابل جابجایی عرشه (مقایسه نتایج عددی و آزمایشگاهی)

شکل ۶۱-۵ تغیرات حداکثر بار اعمالی به عرشه در حالت گروت نشده (مقایسه نتایج عددی و آزمایشگاهی)

شکل ۶۲-۵ تغیرات حداکثر بار اعمالی به عرشه در حالت گروت شده (مقایسه نتایج عددی و آزمایشگاهی)

شکل ۶۳-۵ افت مقاومت و سختی قاب طی سیکلهای بارگذاری (نتایج مدلسازی عددی)

شکل ۶۴-۵ افت مقاومت و سختی قاب طی سیکلهای بارگذاری (مقایسه نتایج مدلسازی عددی و آزمایشگاهی)

شکل ۶۵-۵ تغیرات حداکثر نیروی محوری متوسط مهاربندی ۱۰۱-۲۰۲ (نتایج آزمایشگاهی)

شکل ۶۶-۵ تغیرات حداکثر نیروی محوری متوسط مهاربندی ۱۰۱-۲۰۲ (نتایج مدلسازی عددی)